

УДК 523.33

Определение углов ориентировки сelenодезической координатной системы по фотографическим позиционным наблюдениям Луны (ноябрь 1979 — май 1981 гг.)

Н. А. Василенко, В. С. Кислюк, Р. Л. Семеренко

Новый массив фотографических наблюдений Луны одновременно со звездами, выполненных на двойном астрографе ГАО АН УССР ($D=40$ см, $F=5.5$ м) применен для определения углов ориентировки системы, реализуемой Сводным сelenодезическим каталогом 4900 точек лунной поверхности, относительно квазидинамической сelenоцентрической системы. По измерениям 80 кратеров на 55 пластинках, полученных в 1979—1981 гг., найдены углы поворота системы каталога относительно квазидинамической соответственно вокруг осей ξ , η , ζ , которые оказались равными: $\pi=226^\circ \pm 10^\circ$; $\nu=64^\circ \pm 10^\circ$; $\mu=-5^\circ \pm 13^\circ$. Отмечается хорошее согласие наблюденных величин с результатами, полученными авторами ранее из обработки измерений 40 снимков Луны.

DETERMINATION OF THE ORIENTATION ANGLES OF THE SELENODETIC COORDINATE SYSTEM BASED ON PHOTOGRAPHIC POSITIONAL OBSERVATIONS OF THE MOON, by Vasilenko N. A., Kislyuk V. S., Semerenko R. L.—A new series of photographic observations of the Moon against a stellar background were used for determining the orientation of the selenodetic system realized by the Consolidated Catalogue of 4900 basic points on the lunar surface with respect to the selenodetic coordinate system, the third axis of which is connected with the mean direction to the Earth. The results defined are in good agreement with those obtained by the authors in the previous paper.

В работе [2] решается задача определения углов ориентировки осей координатной системы, реализуемой Киевским Сводным сelenодезическим каталогом [1] относительно сelenографической системы координат, связанной со средним направлением на Землю. В работе [4] такая система названа квазидинамической. Как правило, именно квазидинамическая система применяется при построении сelenодезических опорных сетей.

Связь между системами каталога (ξ , η , ζ) и квазидинамической ($\tilde{\xi}_d$, $\tilde{\eta}_d$, $\tilde{\zeta}_d$) представляется в виде [1]:

$$\begin{pmatrix} \xi \\ \eta \\ \zeta \end{pmatrix} = \begin{pmatrix} 1 & -\mu & \nu \\ \mu & 1 & -\pi \\ -\nu & \pi & 1 \end{pmatrix} \begin{pmatrix} \tilde{\xi}_d \\ \tilde{\eta}_d \\ \tilde{\zeta}_d \end{pmatrix}. \quad (1)$$

Ориентировка осей общепринята: ось ζ направлена в сторону Земли, ось η — к северному полюсу Луны, ось ξ — на восток, в сторону Моря Смита, дополняя систему до правой. Величины μ , ν , π — малые углы типа самолетных.

Результаты определения углов μ , ν , π , полученные в работе [2], приведены в табл. 1.

Как видно из табл. 1, угол π , характеризующий поворот системы относительно оси ξ , оказался довольно большим. Эти результаты найдены из обработки 40 снимков Луны на фоне звезд, полученных в течение девяти вечеров на двойном длиннофокусном астрографе Главной астрономической обсерватории АН УССР ($F=5.5$ м, $D=40$ см) за период с 1978.561 по 1979.858 гг.

С целью подтверждения достоверности полученных результатов использован новый массив подобных наблюдений, обработанный по ана-

логичной методике. Всего было обработано 55 пластинок, полученных в течение десяти вечеров в период с 1979.922 по 1981.465 гг.

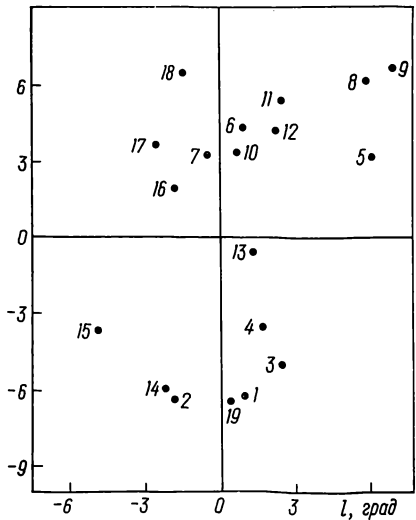
Второй массив наблюдений получен после значительного улучшения работы часового механизма телескопа, построенного на шаговом двигателе с высокостабильным задающим генератором частоты, что привело к заметному повышению качества снимков.

Основные сведения о пластинках приведены в табл. 2, а их распределение по либрациям представлено на рисунке.

**Таблица 1. Углы ориентировки системы
Киевского Сводного сelenодезического
каталига [1]**

Параметр	По данным работы [2]	Данная работа	Совместное решение
n	2806	3140	5946
μ	$3'' \pm 15''$	$-5'' \pm 13''$	$-2'' \pm 10''$
v	$10'' \pm 11''$	$64'' \pm 10''$	$41'' \pm 7''$
π	$207'' \pm 12''$	$226'' \pm 10''$	$218'' \pm 8''$
σ	$\pm 1.5''$	$\pm 1.4''$	$\pm 1.4''$

b , град



►
Распределение серий наблюдений по либрациям Луны: серии (1—9) — по данным работы [2]; серии (10—19) — по данным настоящей работы

Измерения пластинок новой серии позволили составить 3140 условных уравнений вида

$$\begin{aligned} (\alpha_0 - \alpha_c)_{ij} \cos \delta \zeta_i &= a_{ij} \delta \mu + b_{ij} \delta v + c_{ij} \delta \pi, \\ (\delta_0 - \delta_c)_{ij} &= e_{ij} \delta \mu + f_{ij} \delta v + g_{ij} \delta \pi, \end{aligned} \quad (2)$$

где индексы i, j обозначают номер пластиинки и кратера соответственно; α_0 , δ_0 и α_c , δ_c — соответственно наблюденные и вычисленные значения экваториальных координат кратеров; $\delta \mu$, δv , $\delta \pi$ — поправки к принятым начальным значениям углов μ_0 , v_0 , π_0 . В данной работе, как и в предыдущей [2], принято $\mu_0 = v_0 = \pi_0 = 0$.

Для учета физической либрации Луны принятые параметры:

$$f = 0.639; \quad I = 1^\circ 32' 33'', \quad (3)$$

рекомендуемые МАС [5].

Эфемеридные значения координат Луны приведены к экватору и равноденствию каталога FK4.

Результаты решения уравнений (2) способом наименьших квадратов приведены в третьем столбце табл. 1. В последнем, четвертом столбце этой таблицы приведены также результаты совместного решения всех уравнений, составленных по 19 сериям наблюдений. В первой строке приведено число условных уравнений n вида (2), в последней — средние квадратичные ошибки единицы веса σ .

Как видно из табл. 1, результаты обработки нового массива наблюдений подтверждают данные, полученные в работе [2]. Они свидетельствуют прежде всего о том, что система Киевского Сводного сelenодезического каталога повернута относительно квазидинамической системы на угол $\pi \approx 3.5'$ вокруг оси ξ . Хорошее согласие результатов свидетельствует о достоверности определения этого угла.

Как уже отмечалось в [2], столь значительная величина угла π может быть результатом недостаточно надежной привязки системы ката-

лога [1] по координате η к центру масс Луны, а также следствием неточности лунной эфемериды.

Менее согласованно по двум независимым массивам наблюдений определен угол v . Все же можно говорить о небольшом повороте системы каталога относительно квазидинамической системы вокруг оси η к западу (в сторону Океана Бурь).

Таблица 2. Основные сведения о пластинках

Номер серии	Дата, УТ	Момент полно- луния из АЕ	Коли- чество		Номер серии	Дата, УТ	Момент полно- луния из АЕ	Коли- чество	
			звезд	кратеров				звезд	кратеров
10	1979.11.01.839 ^d	1979.11.04.242 ^d	8	38	15	1980.06.01.998 ^d	1980.05.29.894 ^d	21	32
	01.843		12	33		02.004		16	31
	01.846		10	34		02.008		17	35
	01.849		13	30		29.996		5	28
	01.853		10	24		30.006		4	21
11	1979.11.30.777	1979.12.03.756	8	34	16	1980.07.29.984	1980.07.27.785	4	17
	30.783		6	33		30.009		5	20
	30.786		6	32		23.872		6	28
	30.790		4	34		23.872		6	20
12	1979.12.26.675	1980.01.02.377	14	16	17	1980.09.23.869	1980.09.24.506	5	35
	26.683		14	13		23.910		6	38
	26.688		14	13		23.912		6	40
	26.693		13	16		23.916		5	29
	26.696		13	14		23.932		5	32
13	1980.02.02.987	1980.02.01.099	8	32	18	1980.12.17.713	1980.12.21.756	5	28
	02.990		8	30		17.717		6	34
	02.992		6	38		17.757		10	33
	03.030		6	17		17.761		13	25
	03.033		6	31		17.770		8	30
14	1980.05.26.851	1980.05.29.894	14	32	19	1981.05.17.856	1981.05.19.003	7	34
	26.857		15	19		17.800		7	30
	26.860		14	30		17.859		13	32
	26.862		15	25		17.864		13	39
	26.866		13	17		17.866		13	39
15	1980.06.01.982	1980.05.29.894	17	16		17.870		14	35
	01.986		19	20		17.873		12	45
	01.995		23	33				11	37

Таким образом, в рамках допущения о селеноцентричности системы, реализуемой Сводным каталогом [1], полученные результаты позволяют сделать вывод о том, что ось ζ каталога повернута относительно оси ζ_d на угол $v=41''\pm 7''$ в сторону уменьшения сelenографических долгот, т. е. в сторону Океана Бурь, и на угол $\pi=218''\pm 8''$ в сторону увеличения сelenографических широт, т. е. к северу.

Ориентировка системы каталога относительно оси ζ (т. е. в картиенной плоскости) осуществлена практически безошибочно ($\mu=-2''\pm 10''$). Это свидетельствует о том, что ориентировка исходной системы Артура [3], заданная 25 снимками Луны со звездными следами, выполнена достаточно надежно.

В дальнейшем полученный массив наблюдений будет использован для вывода сelenодезической системы 80 точек видимой стороны Луны, масштаб, ориентировка и начало которой будут заданы независимо от других сelenодезических систем.

1. Гаврилов И. В., Кислюк В. С., Дума А. С. Сводная система сelenодезических координат 4900 точек лунной поверхности.— Киев : Наук. думка, 1977.—172 с.
2. Кислюк В. С., Василенко Н. А., Семеренко Р. Л., Коллох В. Б. Определение углов ориентировки сelenодезической координатной системы по данным фотографических позиционных наблюдений Луны.— Астрометрия и астрофизика, 1983, вып. 48, с. 78—84.
3. Arthur D. W. G. A new secondary selenodetic triangulation.— Communs Lunar and Planet. Lab., 1968, 7, p. 303—312.
4. Kislyuk V. S. On the absolute orientation of the selenodetic reference frame.— In: High-Precision Earth Rotation, and Earth—Moon dynamics: Lunar distances and related observ. Proc. 63 Colloq. Intern. Astron. Union, Grasse, May 22—27, 1981. Dordrecht, 1982, p. 281—286.
5. Seidelman P. K. Summary of the IAU (1976) system of astronomical constants.— Inform. Bull. Intern. Astron. Union, 1977, N 37, p. 37—40.

Главная астрономическая обсерватория АН УССР,
Киев

Поступила в редакцию
16.07.1984